

с 323.4

"М-60

М-333

ОБЪЕДИНЕННЫЙ
ИНСТИТУТ
ЯДЕРНЫХ
ИССЛЕДОВАНИЙ

Дубна

P - 2524



ЛАБОРАТОРИЯ ТЕОРЕТИЧЕСКОЙ ФИЗИКИ

В.А. Матвеев, Б.В. Струминский, А.Н. Тавхелидзе

НЕКОТОРЫЕ ЭФФЕКТЫ
В МОДЕЛИ КВАРКОВ

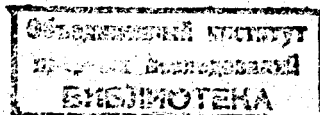
1965

P - 2524

В.А. Матвеев, Б.В. Струминский, А.Н. Тавхелидзе

НЕКОТОРЫЕ ЭФФЕКТЫ
В МОДЕЛИ КВАРКОВ

Направлено в " High Energy Physics "



§ 1. Введение

В последнее время интенсивно обсуждаются динамические модели мезонов и барионов, основанные на предположении о существовании кварков. Кварки считаются носителями основных свойств симметрии, а мезоны и барионы рассматриваются как связанные состояния кварков и антикварков. Хорошее согласие массовых формул с экспериментом можно понять следующим образом. Предположим, что масса кварка велика $M_q \approx (5 - 10) m_p$ (где m_p — масса протона), а большой дефект масс обусловлен сверхсильными взаимодействиями.

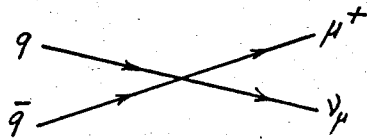
Тогда поправки к массам связанных состояний, которые порядка нескольких сотен Мэв, действительно малы по сравнению с величиной взаимодействия, компенсирующего массу $\approx 10 m_p$.

В работе ^{1/} было показано, что, несмотря на большой дефект масс, движение кварков внутри составной частицы можно рассматривать как нерелятивистское.

Импульс кварка в составной частице порядка $m_p \cdot c$, тогда для значения v/c кварка имеем $v/c = \frac{m_p}{m_p} < \frac{1}{5} - \frac{1}{10}$. В этой же работе показано, что эффективная масса кварка в мезоне есть $\mu/2$, а в барионе $m/3$, где μ и m есть соответственно массы мезона и бариона, что и позволило получить значения аномальных магнитных моментов барионов и мезонов. В настоящей работе, основываясь на этой простой модели, мы рассмотрим некоторые процессы распадов мезонов и электромагнитные расщепления масс для барионов и мезонов.

§ 2. Слабые распады мезонов

Рассмотрим модель, в которой π, K — мезоны есть связанные состояния кварка и антикварка. Будем считать, что распады типа $\pi^+ \rightarrow \mu^+ + \nu_\mu$, $K^+ \rightarrow \mu^+ + \nu_\mu$ происходят путем аннигиляции кварка и антикварка, находящихся в связанном состоянии, и схематически описываются диаграммами вида:



Р и с. 1

Чтобы написать матричный элемент, соответствующий данной схеме, мы используем нерелятивистский характер движения кварков внутри составной частицы, предполагая что при аннигиляции кварк и антикварк практически покоятся и имеют эффективную массу $\mu/2$.

Для матричного элемента имеем:

$$M = \frac{g}{\sqrt{2}} (\bar{q} \gamma_\mu \gamma_5 q) (e^+ \gamma_\lambda (1 + \gamma_5) \nu) \frac{k_\mu k_\lambda}{k^2} \psi(0), \quad (2.1)$$

где согласно теории Кабиббо $g = G \cos \theta$ для распада $\pi^+ \rightarrow \mu^+ + \nu_\mu$ без изменения странности, $g = G \sin \theta$ для распада $K^+ \rightarrow \mu^+ + \nu_\mu$ с изменением странности. Множитель $\frac{k_\mu k_\lambda}{k^2}$ выделяет 1S -состояние системы кварка и антикварка.

Для вероятности распада получим

$$W = \frac{g^2}{2\pi^2} \cdot m_\mu^2 \left(1 - \frac{m_\mu^2}{\mu^2}\right)^2 \cdot |\psi(0)|^2. \quad (2.2)$$

В дальнейшем мы будем предполагать, что эффективный потенциал взаимодействия кварков имеет радиус R порядка $R = \frac{\hbar}{m_\pi c}$, одинаковый для всех псевдоскалярных мезонов, а разности масс мезонов обусловлены утяжелением третьего кварка.

Тогда плотность кварков будет одинаковой для всех псевдоскалярных мезонов и равна

$$|\psi(0)|^2 = \frac{3}{4\pi} \left(\frac{\hbar}{m_\pi c}\right)^{-3}. \quad (2.3)$$

Подставляя (2.3) в выражение (2.2) для вероятности распада $\pi^+ \rightarrow \mu^+ + \nu_\mu$, получим

$$W(\pi^+ \rightarrow \mu^+ + \nu) = \frac{3G^2 \cos^2 \theta}{8\pi^2} m_\mu^2 \cdot \mu^3 \left(1 - \frac{m_\mu^2}{\mu^2}\right)^2. \quad (2.4)$$

Отсюда для времени жизни π^+ -мезона получим:

$$\tau_{\pi^+} = 2,5 \cdot 10^{-8} \quad (2.5)$$

что хорошо согласуется с экспериментальным значением $2,55 \cdot 10^{-8}$ сек. Для отношения

вероятностей распадов $K^+ \rightarrow \mu^+ + \nu_\mu$ и $\pi^+ \rightarrow \mu^+ + \nu_\mu$ имеем

$$\frac{W(K^+ \rightarrow \mu^+ + \nu)}{W(\pi^+ \rightarrow \mu^+ + \nu)} = \text{tg}^2 \theta \cdot \frac{\left(1 - \frac{m_\mu^2}{m_K^2}\right)^2}{\left(1 - \frac{m_\mu^2}{m_\pi^2}\right)^2} \quad (2.10)$$

Используя $\text{tg}^2 \theta = 0,06$, получим для времени жизни K^+ -мезона значение $\tau_{K^+} \approx 8,2 \cdot 10^{-3}$ сек, экспериментальное значение равняется $2 \cdot 10^{-8}$ сек. Это указывает на то, что эффективный радиус ямы не является постоянным для всех мезонов. Уменьшение радиуса для K -мезона в 1,5 раза дает правильное значение жизни. Разумеется, наша модель не претендует на такую точность.

3. Электромагнитные расщепления масс

В рассматриваемой модели нетрудно оценить электромагнитные поправки к массам мезонов и барионов. Так как мы считаем, что кварки практически покоятся, то электромагнитные поправки к массам мезонов и барионов обусловлены кулоновским взаимодействием кварков и электромагнитными поправками к собственной массе кварков.

Энергия кулоновского взаимодействия кварков равна:

$$W_{12} = e_1 e_2 \int \frac{\rho_1 \rho_2}{(r_1 - r_2)} d^3 r_1 d^3 r_2. \quad (3.1)$$

Полагая, что заряд кварков распределен равномерно внутри сферы радиуса $R = \frac{\hbar}{m_\pi c}$, находим:

$$W_{12} = e_1 e_2 (6\alpha m_\pi), \quad \alpha = \frac{1}{137}. \quad (3.2)$$

Электромагнитные поправки к собственной массе кварка пропорциональна квадрату его заряда: $\delta M_i = \Delta \cdot e_i^2$.

В результате для электромагнитных поправок к массе мезонов имеем:

$$\delta \mu = (6\alpha m_\pi) e_1 e_2 + \Delta \cdot (e_1^2 + e_2^2). \quad (3.3)$$

Отсюда для разности находим:

$$\begin{aligned} m_{\pi^+} - m_{\pi^0} &= 3\alpha m_\pi, \\ m_{K^+} - m_{K^0} &= 2\alpha m_\pi + \frac{1}{3}\Delta. \end{aligned} \quad (3.4)$$

Экспериментальное значение разности масс $(m_{\pi^+} - m_{\pi^0}) = 4,6 \text{ MeV}$, а формула (3.4) дает $(m_{\pi^+} - m_{\pi^0}) = 3 \text{ MeV}$. Из формулы (3.4) находим также, что

$$\Delta = 3(m_{\pi^+} - m_{\pi^0}) - 2(m_{\pi^+} - m_{\pi^0}) = -20,9 \text{ MeV} \quad (3.5)$$

Аналогичным образом можно вычислить электромагнитные поправки к массам барионов:

$$\delta m_B = \sum_{1 \leq i < j \leq 3} e_i e_j \int \frac{\rho_i \rho_j}{(r_i - r_j)^2} d^3 r d^3 r + \Delta'(e_1^2 + e_2^2 + e_3^2). \quad (3.6)$$

Снова предполагая, что заряд кварка в барионе распределен равномерно внутри сферы радиуса $R \approx \frac{h}{m_\pi c}$, находим:

$$\delta m_B = 3\alpha m_\pi (Q-1)(Q+2/3) + \Delta'(2/3 + (1/3) \cdot Q). \quad (3.7)$$

Отсюда получаем:

$$m_p - m_n = 2\alpha m_\pi + 1/3 \cdot \Delta',$$

$$m_{\Sigma^+} - m_{\Sigma^0} = 4\alpha m_\pi - 1/3 \cdot \Delta', \quad (3.8)$$

$$m_{\Sigma^+} - m_{\Sigma^0} = -2\alpha m_\pi + 2/3 \cdot \Delta'.$$

Из формул (3.8) следует:

$$(m_p - m_n) + (m_{\Sigma^+} - m_{\Sigma^0}) = 6\alpha m_\pi = 6 \text{ MeV}. \quad (3.9)$$

Экспериментальное значение этой величины 5,8 Мэв. Далее из формулы (3.8) определяем:

$$\Delta' = (m_p - m_n) + (m_{\Sigma^+} - m_{\Sigma^0}) = -9,2 \text{ MeV}. \quad (3.10)$$

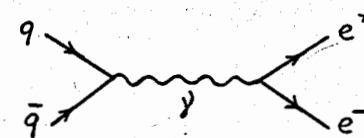
Используя релятивистское уравнение для составных мезонов и барионов, можно показать, что

$$\frac{\Delta}{\Delta'} \approx \frac{2}{3} \cdot \frac{m_B}{m_\mu} = 2 - 3. \quad (3.11)$$

Это значение удовлетворительно согласуется со значением $\frac{\Delta}{\Delta'} \approx 2,3$, полученным из экспериментальных данных.

§ 4. Электромагнитные распады мезонов

Вычислим вероятности электромагнитных распадов векторных мезонов на электронно-позитронные пары. Будем считать, что такие распады происходят путем аннигиляции кварка и антикварка, находящихся в связанном состоянии (см. рис. 2):



Р и с. 2

Матричный элемент такого распада можно записать в виде:

$$M = -\frac{e^2}{k} Q_V (\bar{q} \gamma_\mu q) (e^+ \gamma_\mu e^-) \psi(0), \quad (4.1)$$

где $Q_\omega = \frac{1}{3\sqrt{2}}$, $Q_\phi = -\frac{1}{3}$, $Q_\rho = \frac{1}{\sqrt{2}}$

(эти множители обусловлены дробностью зарядов кварков и изотопической структурой мезонов). Для вероятности распада получим:

$$W(V \rightarrow e^+ + e^-) = \frac{16\pi}{3m_V^2} \cdot Q_V^2 \cdot \alpha^2 |\psi(0)|^2. \quad (4.2)$$

Массы векторных мезонов значительно больше масс псевдоскалярных мезонов, естественно поэтому считать, что эффективный радиус сил, образующих векторные мезоны, будет меньше радиуса сил для псевдоскалярных мезонов, т.е. порядка

$$R \approx \frac{h}{m_\rho c}. \quad (4.3)$$

Тогда для вероятностей распадов будем иметь:

$$W(V \rightarrow e^+ + e^-) = 4\alpha^2 \cdot Q_V^2 \cdot \frac{m_\rho^3}{m_V^2}. \quad (4.4)$$

В настоящее время по трем событиям распада ω -мезона оценено отношение $\frac{W(\omega \rightarrow e^+ + e^-)}{W_\omega} = 2 \cdot 10^{-4}$, где W_ω - полная ширина ω -мезона^{/5/}. Из формулы (4.4) для этого отношения получаем $6,7 \cdot 10^{-4}$.

Распады $\pi^0 \rightarrow 2\gamma$, $\eta \rightarrow 2\gamma$, $\chi^0 \rightarrow 2\gamma$ в этой модели аналогичны двухфотонному распаду парапозитрония, и для оценки их вероятности можно воспользоваться готовой формулой

$$W = 4\alpha^2 \cdot \pi |\psi(0)|^2 \cdot Q^2 \frac{1}{m^2}. \quad (4.5)$$

Множитель Q^2 появляется из-за того, что кварки имеют дробный заряд. Он принимает следующие значения:

$$Q_{\pi^0}^2 = \frac{1}{18}, \quad Q_\eta^2 = \frac{1}{54}, \quad Q_{\chi^0}^2 = \frac{4}{27}. \quad (4.6)$$

Вероятность распада $\pi^0 \rightarrow 2\gamma$ оказывается равной

$$W(\pi^0 \rightarrow 2\gamma) = \frac{2}{3} a^2 \cdot m_\pi, \quad (4.7)$$

или время жизни π^0 -мезона $1,3 \cdot 10^{-19}$ сек. Полученное время жизни на три порядка отличается от экспериментального ($1,6 \cdot 10^{-16}$ сек).

Возможно, это связано с тем, что мы использовали слишком грубую модель. Действительно, если виртуальный кварк имеет некомпенсированную массу M , то время жизни π^0 по сравнению с выражением (4.7) увеличивается в $(\frac{M}{m_\pi})^2$ раз. Экспериментальному значению времени жизни отвечает $M \approx 5m_p$. Реальный кварк имеет, по-видимому, еще большую массу.

Другая возможность объяснения времени жизни π^0 -мезона состоит в том, что мы можем строить барионы и мезоны не из одного триплета кварков, а из трех триплетов кварков, с целыми зарядами, сохраняя при этом основные выводы теории $SU(6)$. Амплитуда распада $\pi^0 \rightarrow 2\gamma$ будет тогда суммой трех амплитуд, и можно добиться того, чтобы они скомпенсировали друг друга, давая правильное время жизни π^0 -мезона.

ПРИЛОЖЕНИЕ

Как было показано в работах /2,3/, связанные состояния в системах из кварков и антикварков в пределе большой массы кварков в присутствия электромагнитных взаимодействий описываются уравнениями:

$$(p^2 - \mu^2)\phi = \{2(\delta M_1^2 + \delta M_2^2) + (\Gamma_1 + \Gamma_2)_\mu A_\mu\}\phi, \quad (\text{для мезонов}); \quad (П.1)$$

$$(p^2 - m^2)\phi = \{3(\delta M_1^2 + \delta M_2^2 + \delta M_3^2) + (\Gamma_1 + \Gamma_2 + \Gamma_3)_\mu A_\mu\}\phi \quad (\text{для барионов}),$$

Здесь δM_1^2 - унитарное расщепление и собственная электромагнитная масса кварков:

$$\delta M_1^2 = \alpha(\lambda_3)_1 + \beta(e^2)_1. \quad (П.2)$$

Члены в уравнении (П.1), содержащие δM_1^2 , дают вклад в электромагнитные массы мезонов и барионов в первом порядке теории возмущений, а члены, содержащие вершинные операторы $(\Gamma_1)_\mu$, дают вклады во втором порядке теории возмущений. В результате для электромагнитных и унитарных расщеплений получим:

$$\delta \mu^2 = 2(\delta M_1^2 + \delta M_2^2) + 2m \cdot W \cdot (e_1 e_2) \quad (\text{для мезонов}); \quad (П.3)$$

$$\delta m^2 = 3(\delta M_1^2 + \delta M_2^2 + \delta M_3^2) + 2mW \cdot (e_1 e_2 + e_1 e_3 + e_2 e_3) \quad (\text{для барионов}).$$

В нашей модели W и W' есть просто энергия кулоновского взаимодействия пары кварков $W = W' \approx 6\alpha m_\pi$ ($\approx 6 \text{ MeV}$). Величины Δ и Δ' , введенные в § 3, есть $\Delta = \frac{2\beta}{2\mu}$, $\Delta' = \frac{3\beta}{2m}$, их отношение может быть оценено как $\frac{\Delta}{\Delta'} = \frac{2}{3} \cdot \frac{m}{\mu}$. Заметим, что на основе (П.1) в работе /8/ была найдена связь между унитарными расщеплениями в барионном и мезонном мультиплетях.

Если бы мы захотели учесть отклонение масс мезонов и барионов от средних значений, то должны были вместо (3.4) и (3.8) написать более точно:

$$\left. \begin{aligned} (m_{\pi^+} - m_{\pi^0}) &= \frac{1}{2}W, \\ (m_{K^+} - m_{K^0}) &= \frac{1}{3}W + \frac{\beta}{3m_K} \end{aligned} \right\} \quad (\text{для мезонов}); \quad (\text{П.4})$$

$$\left. \begin{aligned} \Delta N &= (m_p - m_n) = \frac{1}{3}W + \frac{\beta}{2m_N}, \\ \Delta \Xi &= (m_{\Xi^+} - m_{\Xi^0}) = \frac{2}{3}W - \frac{\beta}{2m_{\Xi}}, \\ \Delta \Sigma &= (m_{\Sigma^+} - m_{\Sigma^-}) = -\frac{1}{3}W + \frac{\beta}{m_{\Sigma}} \end{aligned} \right\} \quad (\text{для барионов}). \quad (\text{П.5})$$

Из формул (П.4) следуют соотношения:

$$\frac{\Delta N + \Delta \Sigma}{\Delta \Xi + 2\Delta \Sigma} = \frac{m_{\Sigma} + 2m_N}{4m_{\Xi} - m_{\Sigma}} \cdot \frac{m_{\Xi}}{m_N} \quad (0,9 = 0,7), \quad (\text{П.5})$$

$$\frac{\Delta N + \Delta \Sigma}{2\Delta N - \Delta \Xi} = \frac{m_{\Sigma} + 2m_N}{m_N + 2m_{\Xi}} \cdot \frac{m_{\Xi}}{m_{\Sigma}} \quad (1,0 = 1,1),$$

которые удовлетворительно согласуются с экспериментом.

Л и т е р а т у р а

1. Н.Н. Боголюбов, Б.В. Струминский, А.Н. Тавхелидзе. Препринт ОИЯИ, Д-1988, Дубна, 1965.
2. Н.Н. Боголюбов, Нгуен Ван Хьеу, Д. Стоянов, Б.В. Струминский, А.Н. Тавхелидзе, В.П. Шелест. Препринт ОИЯИ, Д-2057, Дубна, 1965.
3. Н.Н. Боголюбов, В.А. Матвеев, Нгуен Ван Хьеу, Д. Стоянов, Б.В. Струминский, В.П. Шелест. Препринт ОИЯИ, Р-2141, Дубна, 1965.

4. N.Cabibbo. Phys.Rev.Lett., 10, 531 (1963).
5. D.M.Binnie et al. Phys. Letters, 18, 348 (1965).
6. P.G.Freund. Nuovo Cim., 39, 769 (1965).

Рукопись поступила в издательский отдел
28 декабря 1965 г.